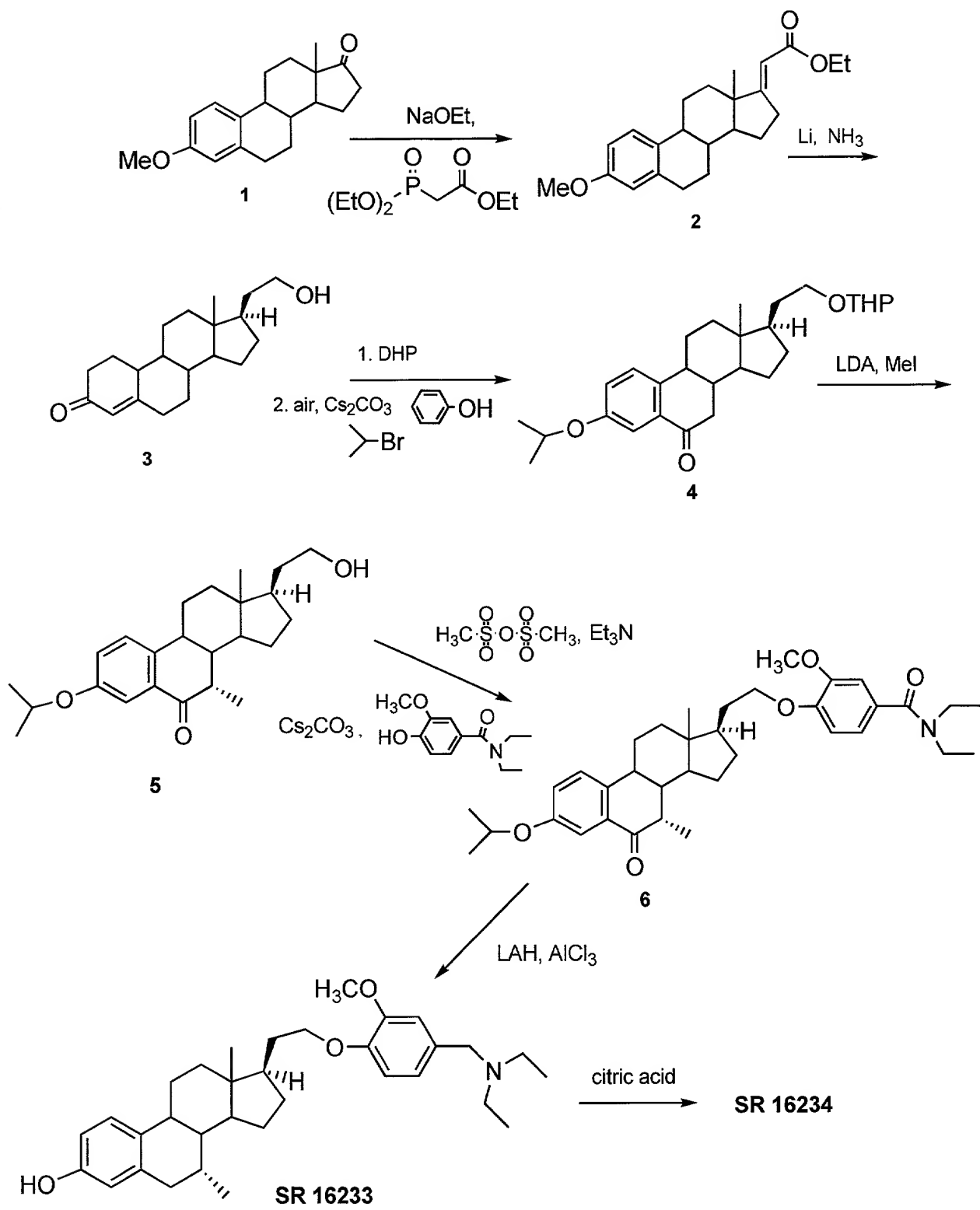
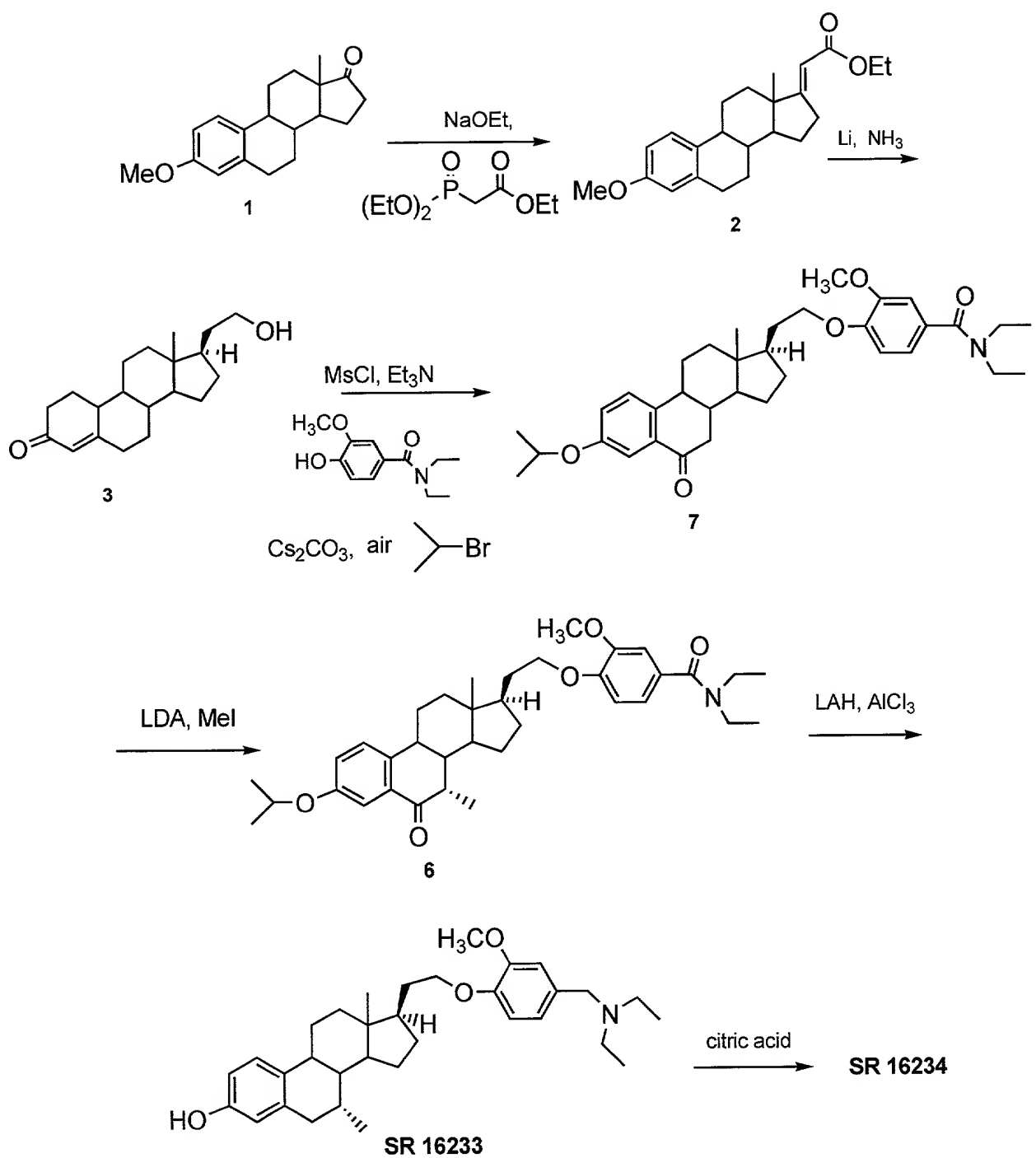


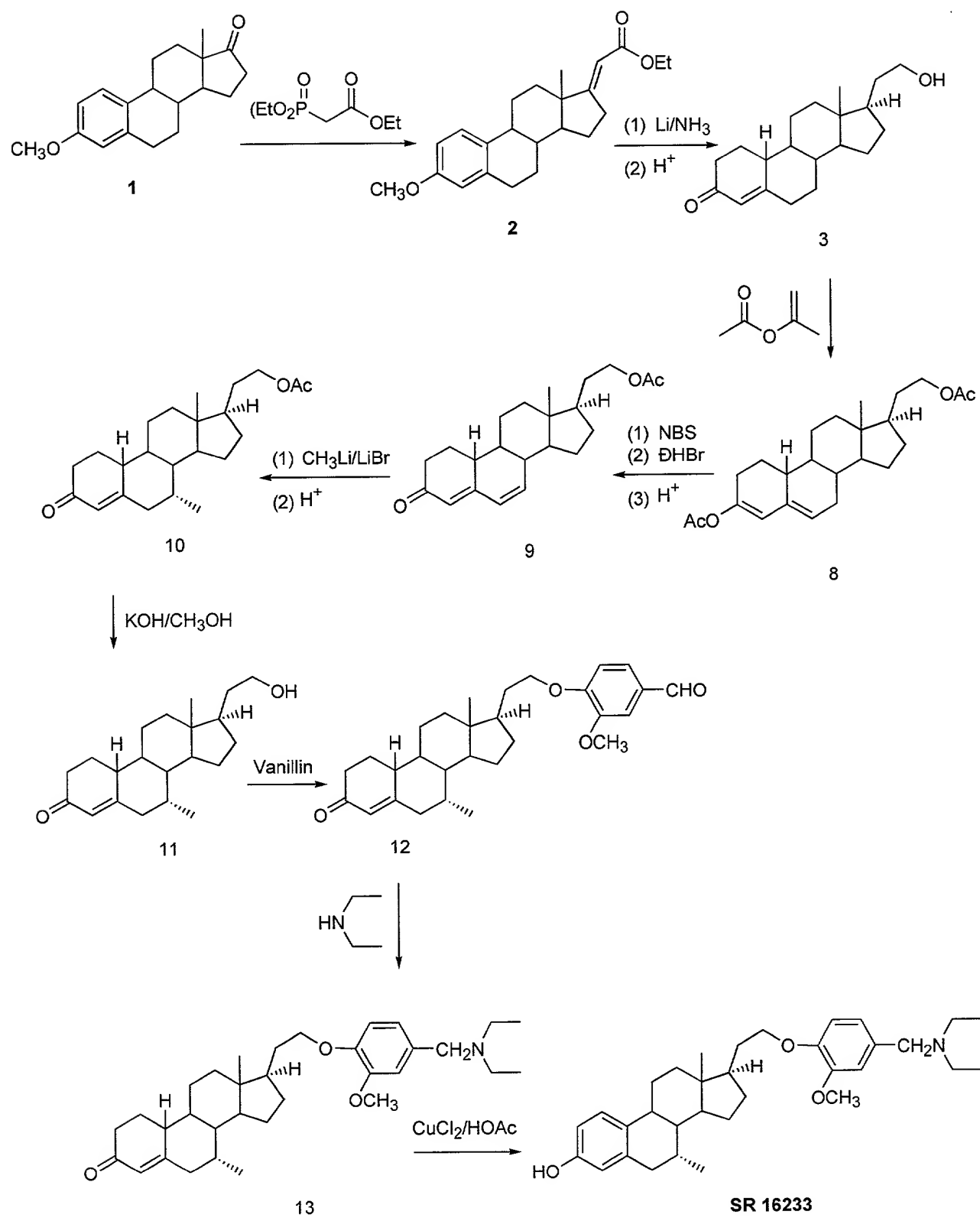
**FIG. 1**

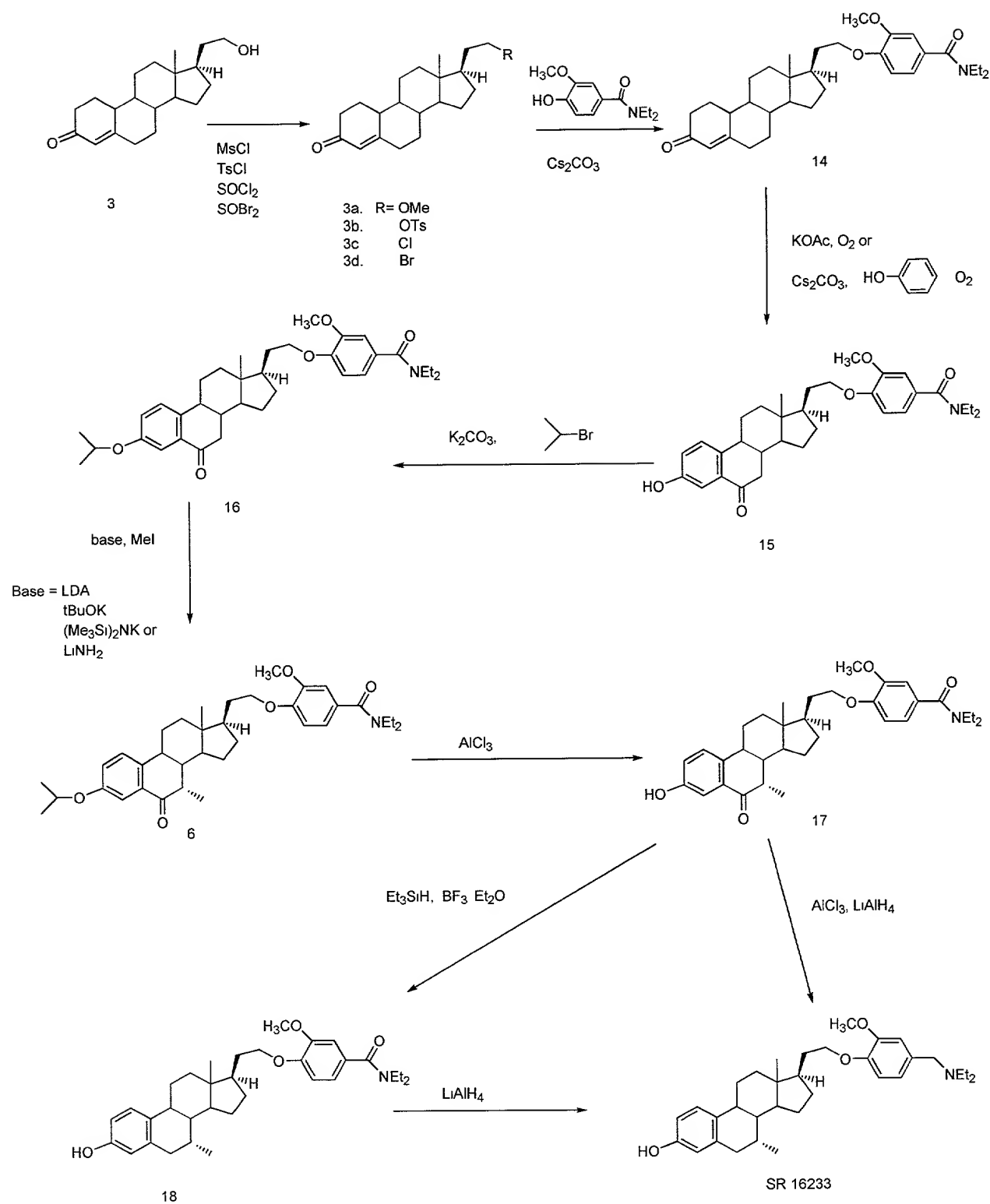


**FIG. 2**

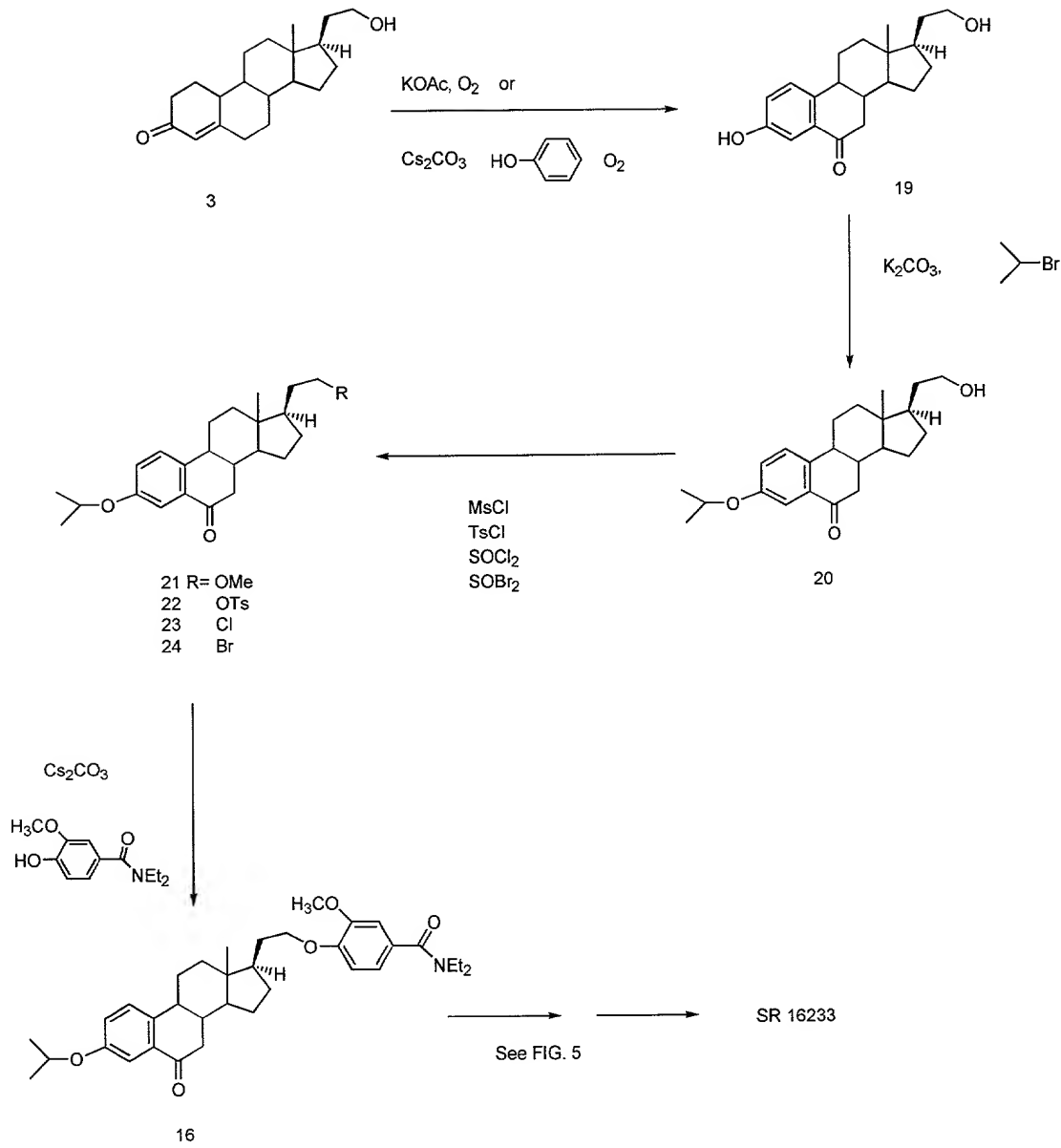


**FIG. 3**

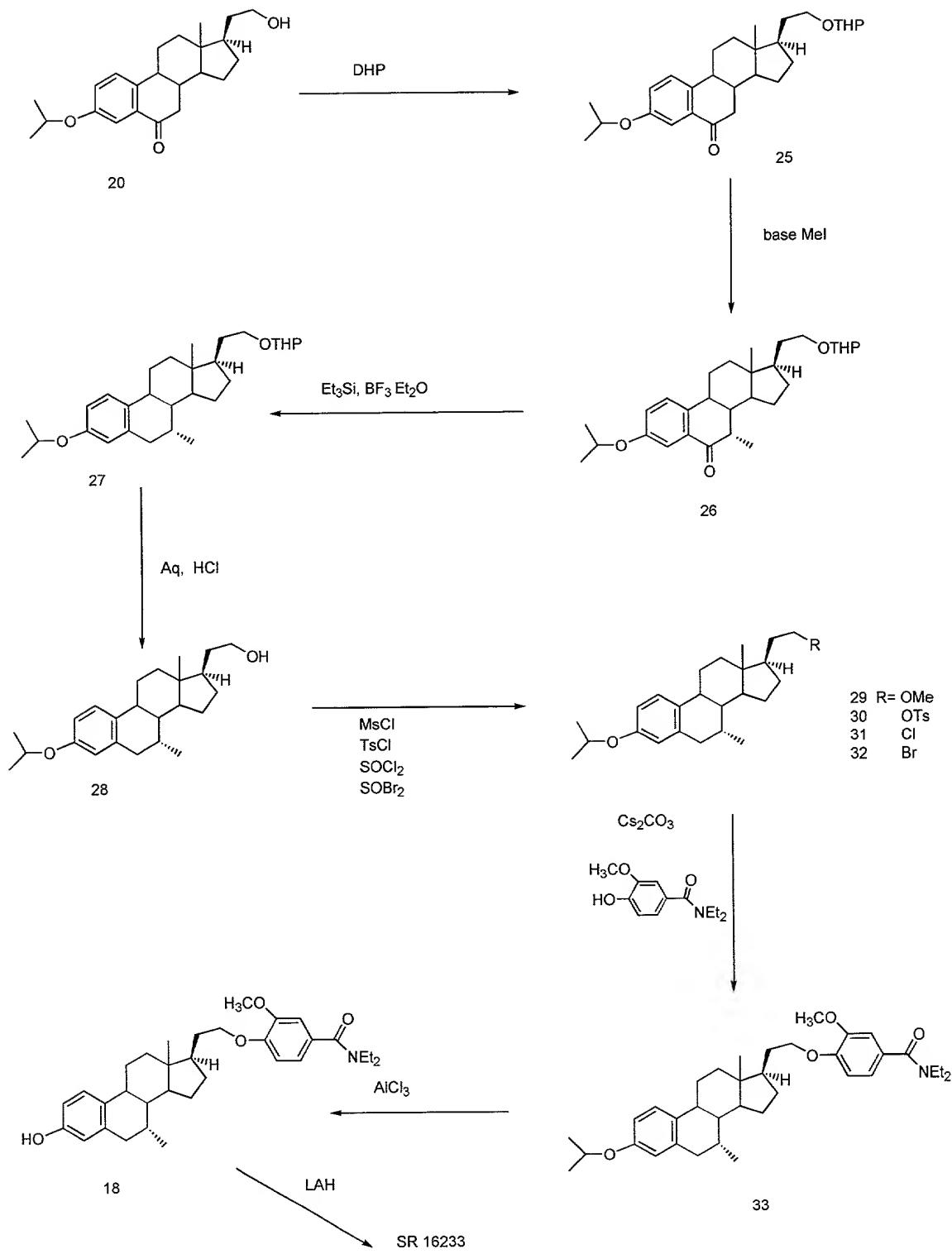
**FIG. 4**



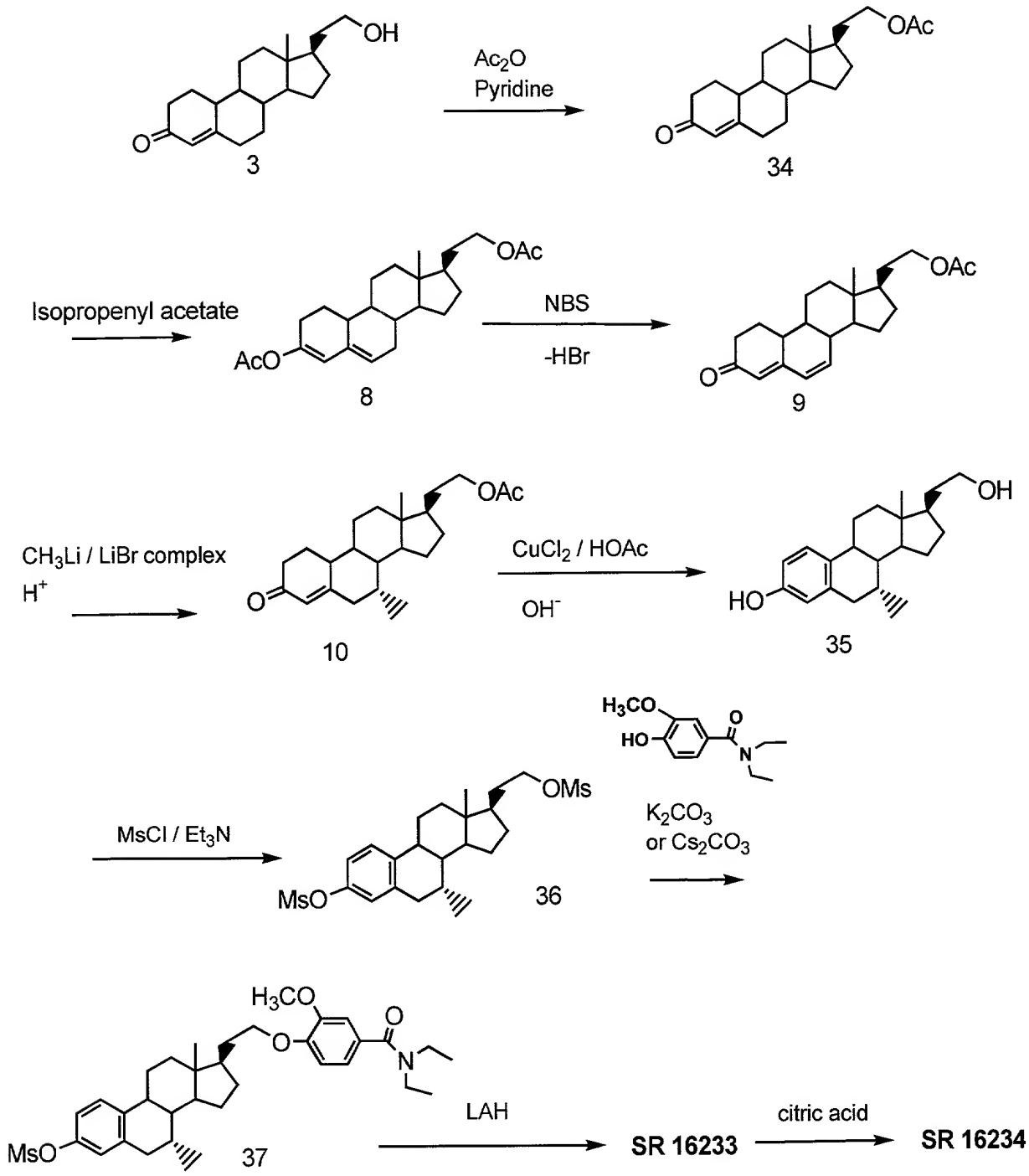
**FIG. 5**



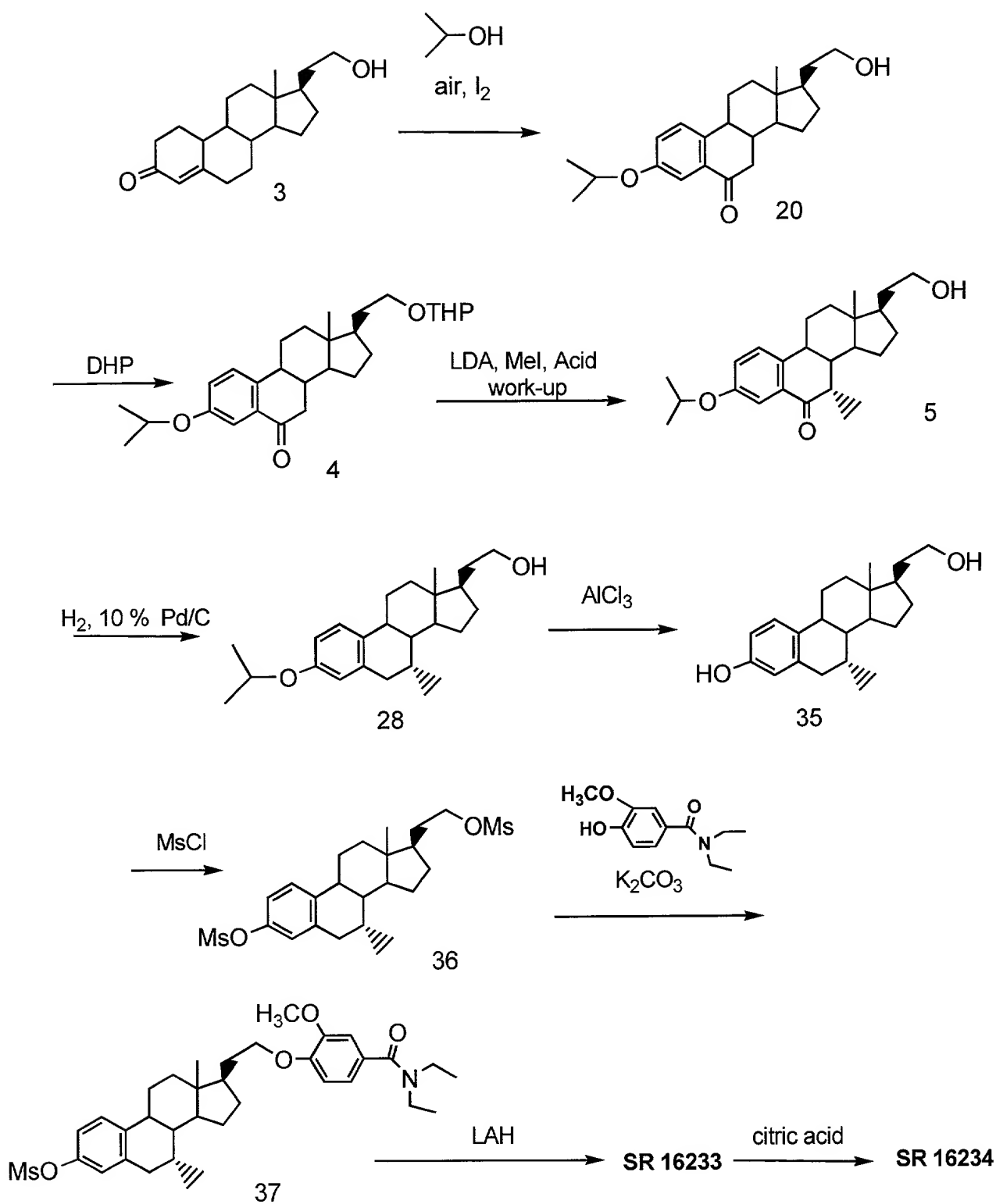
**FIG. 6**



**FIG. 7**

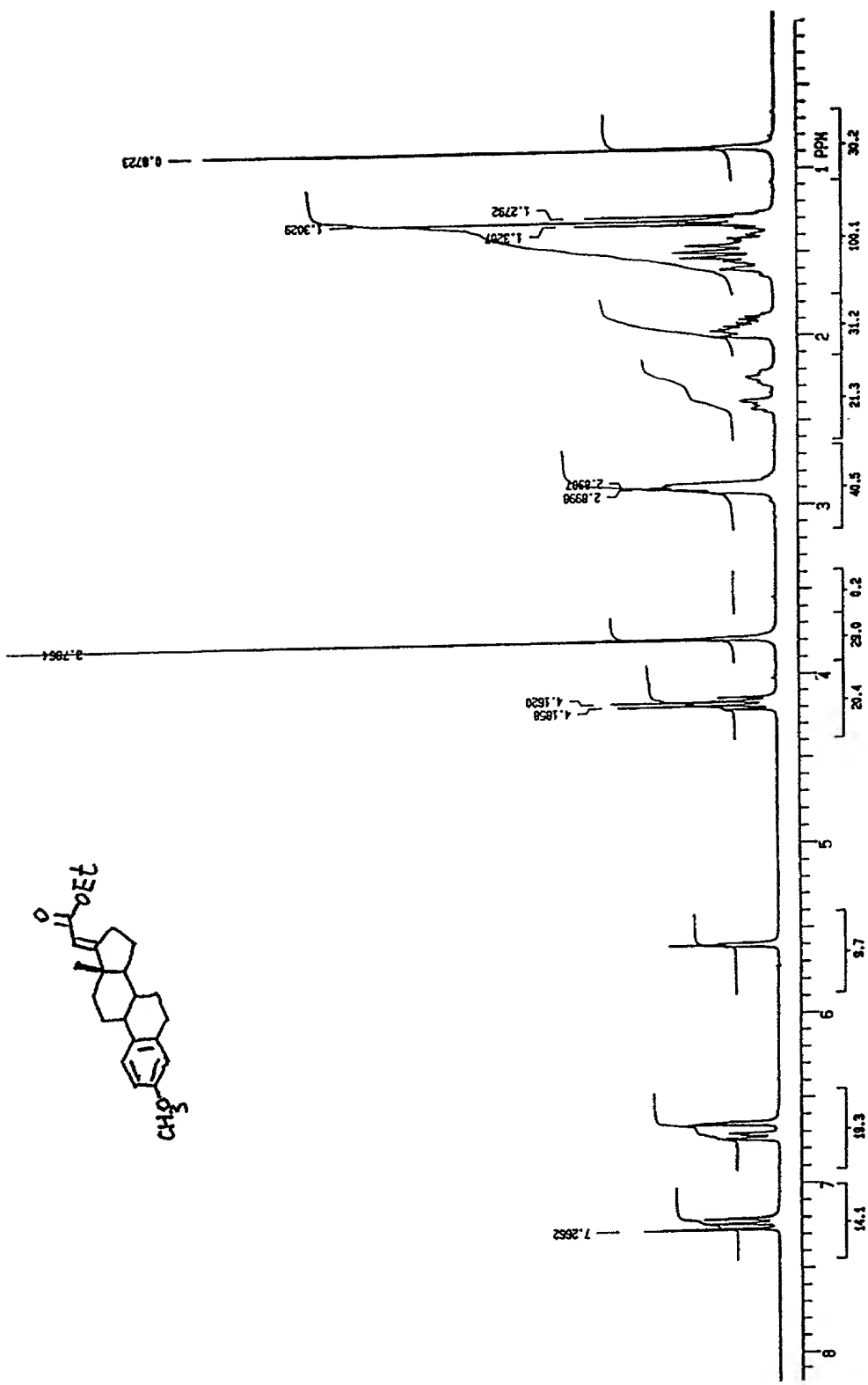


**FIG. 8**



**FIG. 9**

**FIG. 10**



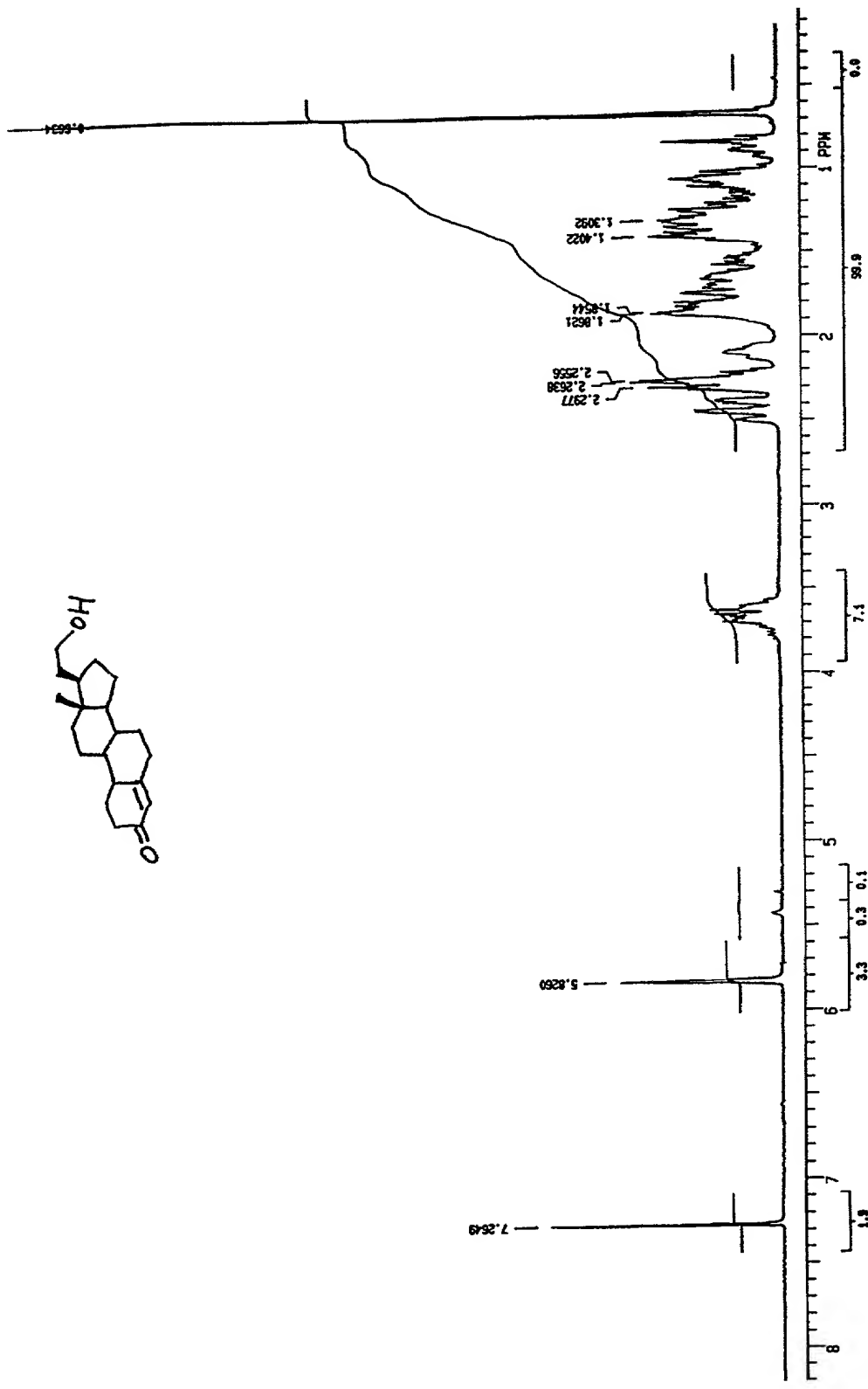
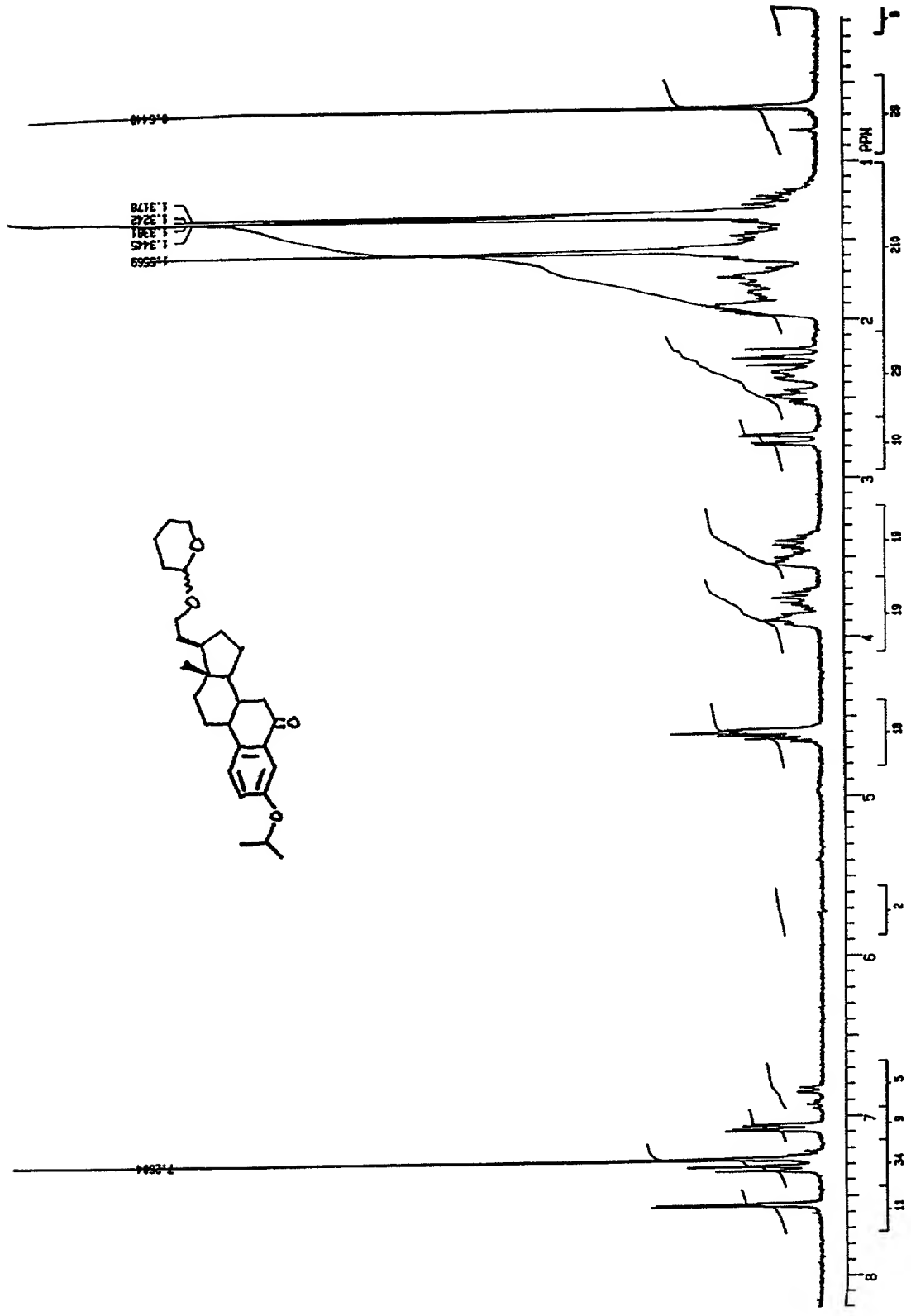


FIG. 11



**FIG. 12**

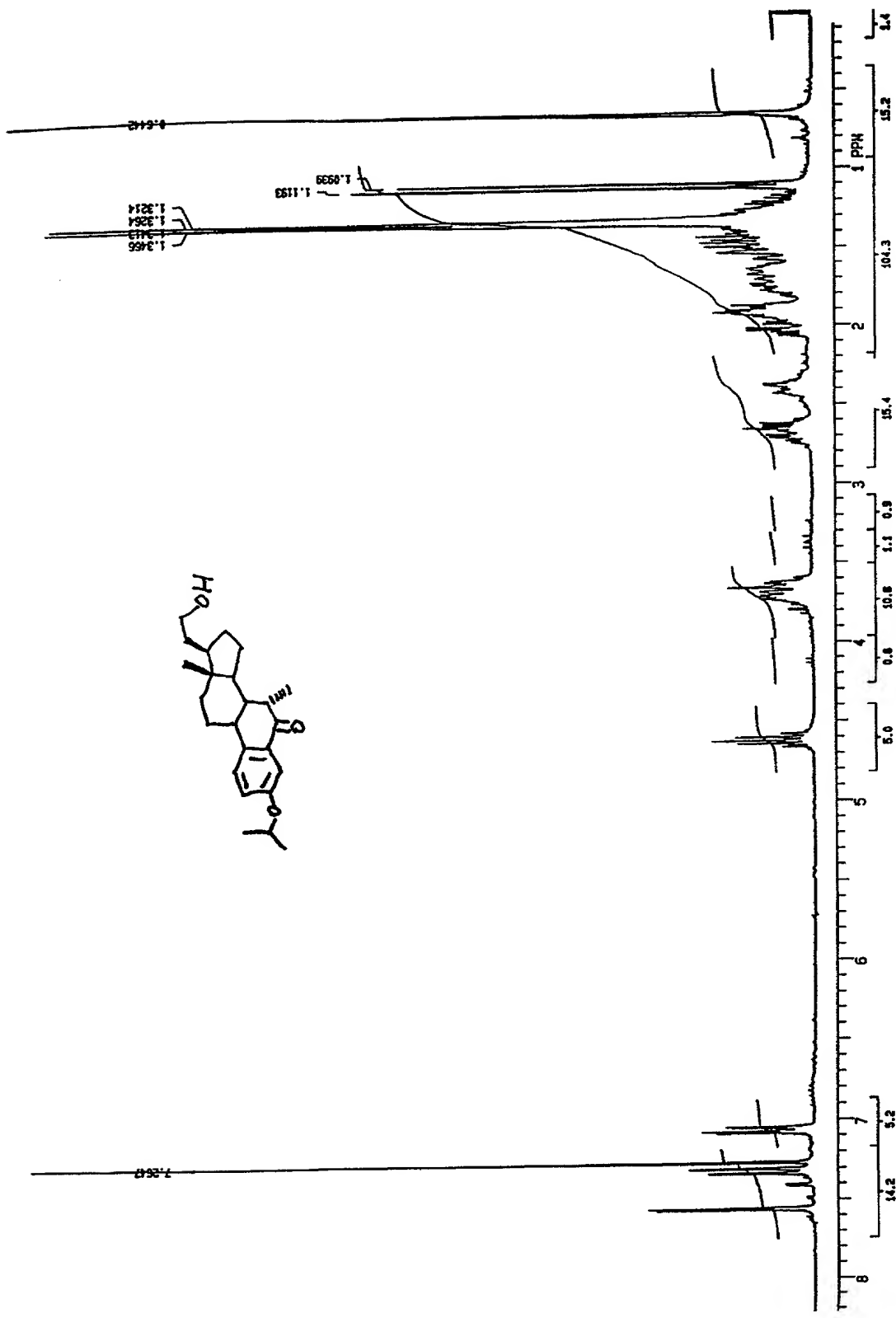
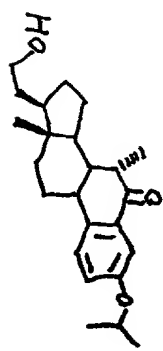


FIG. 13

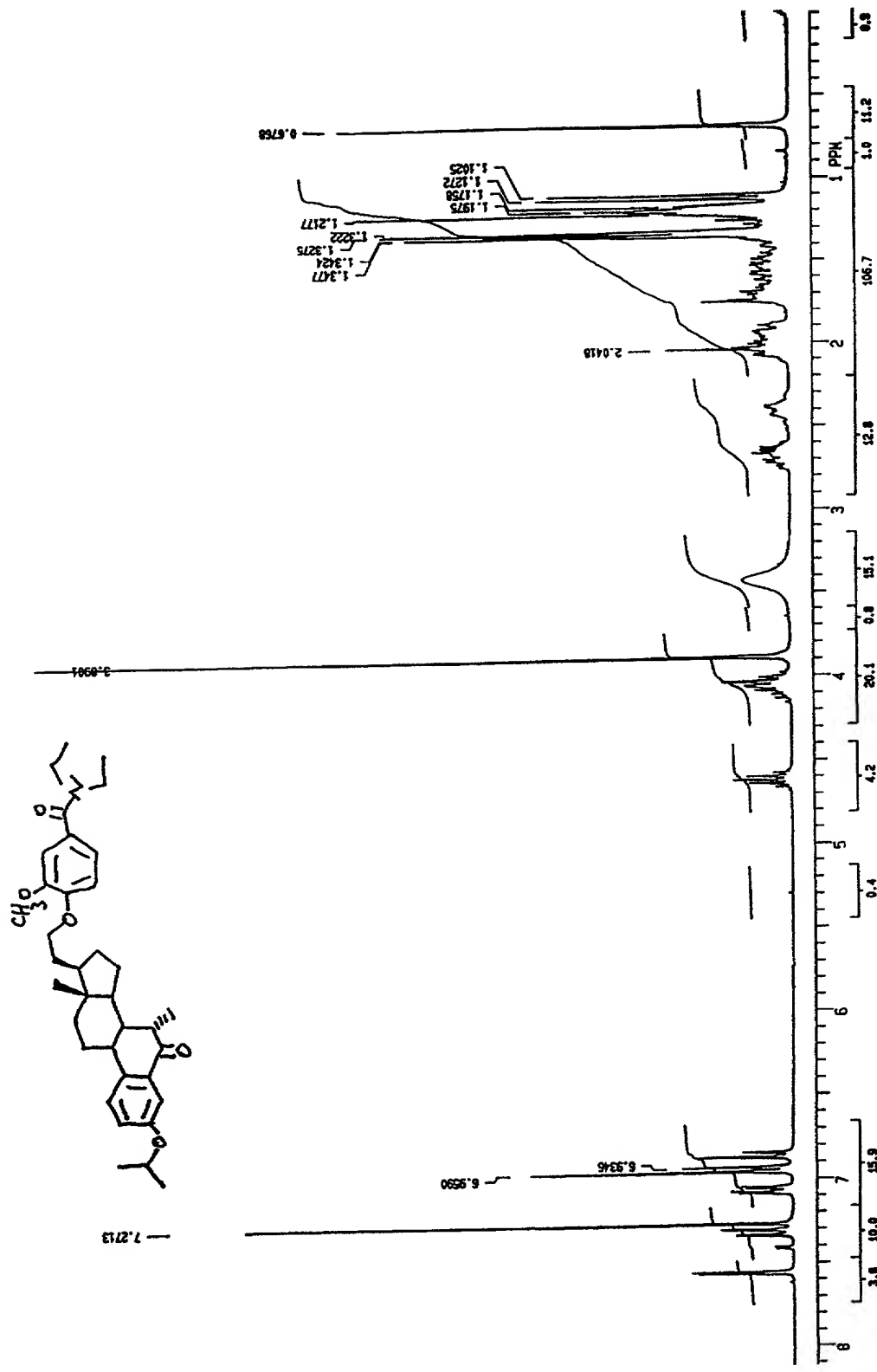


FIG. 14

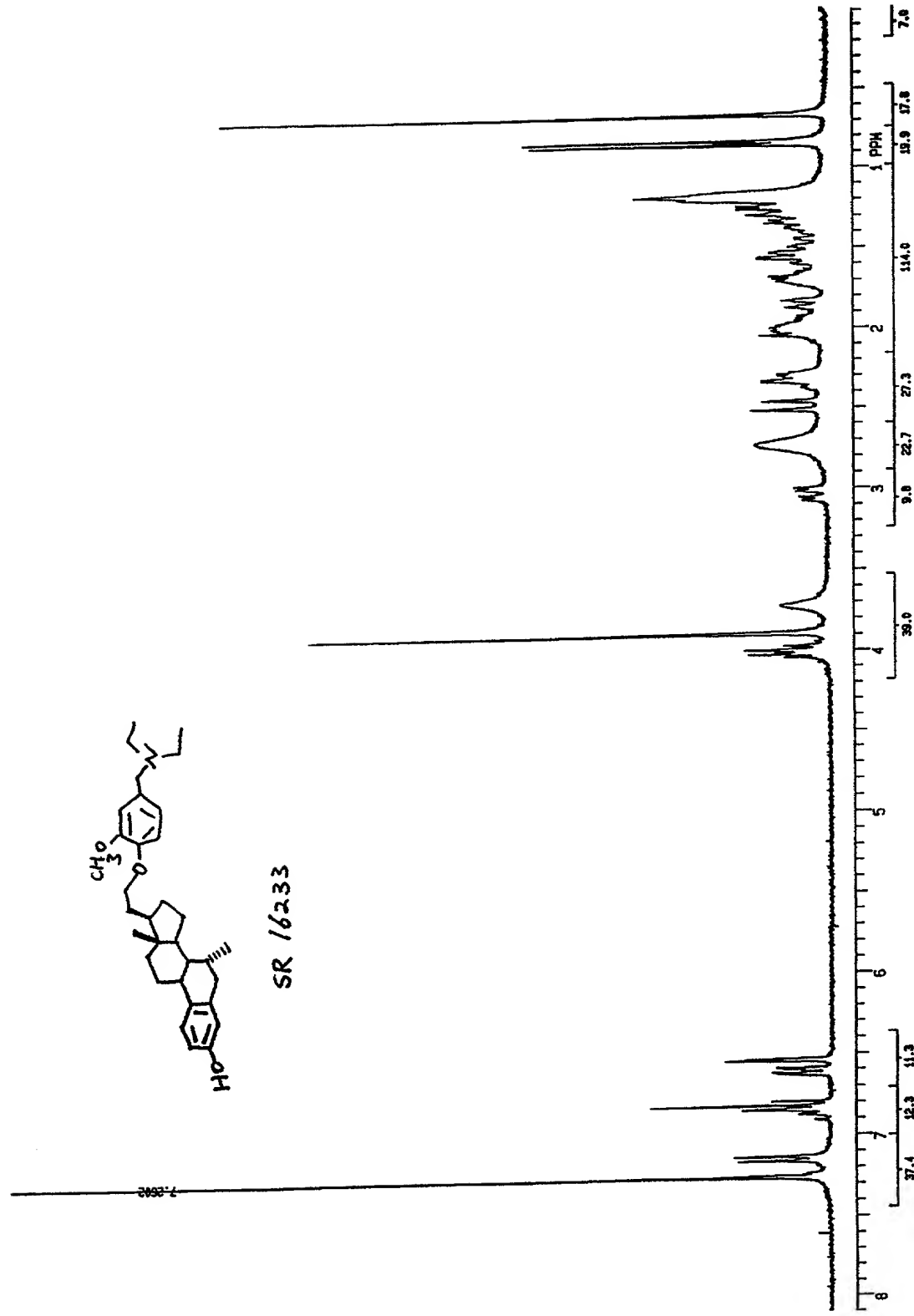
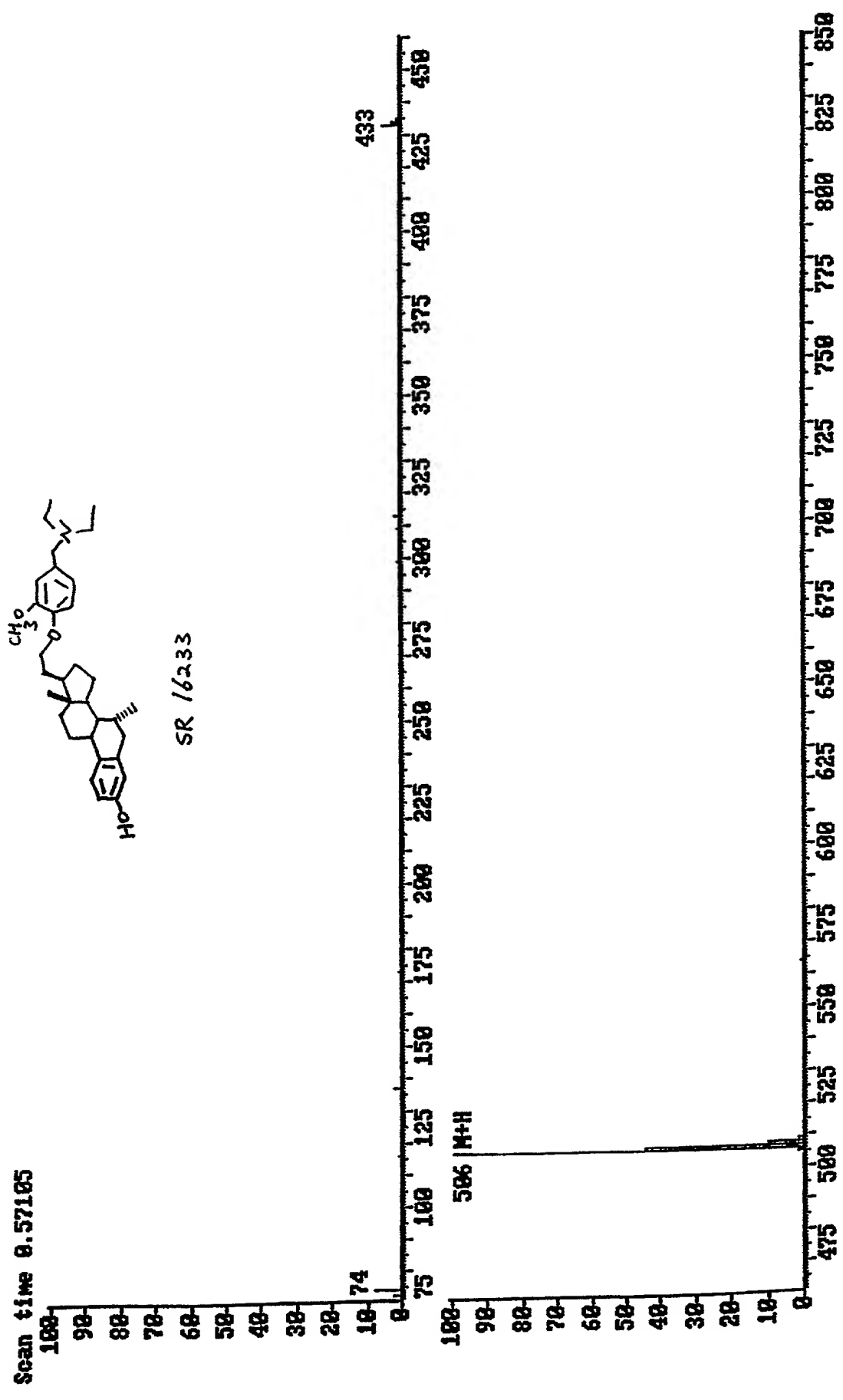
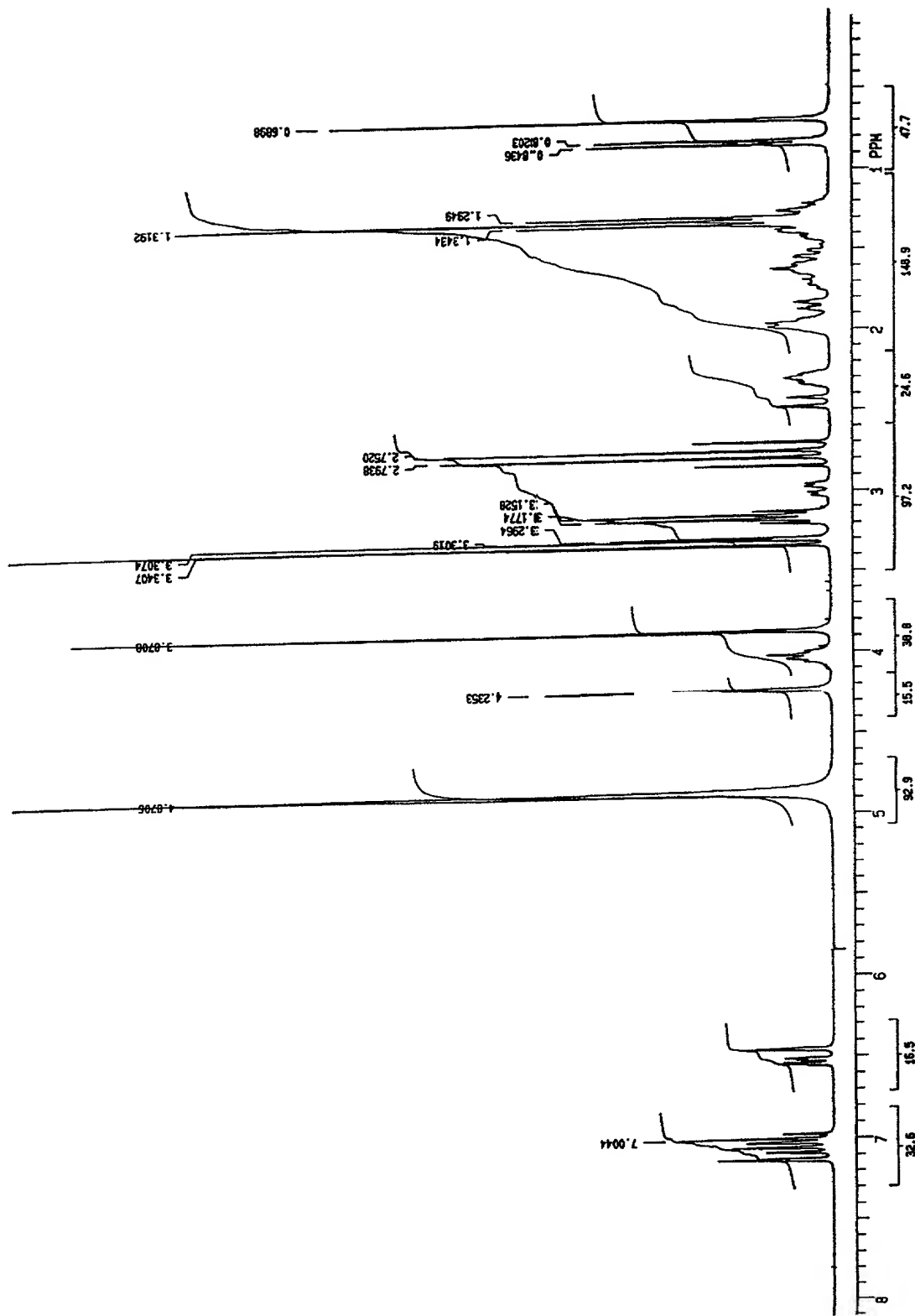


FIG. 15

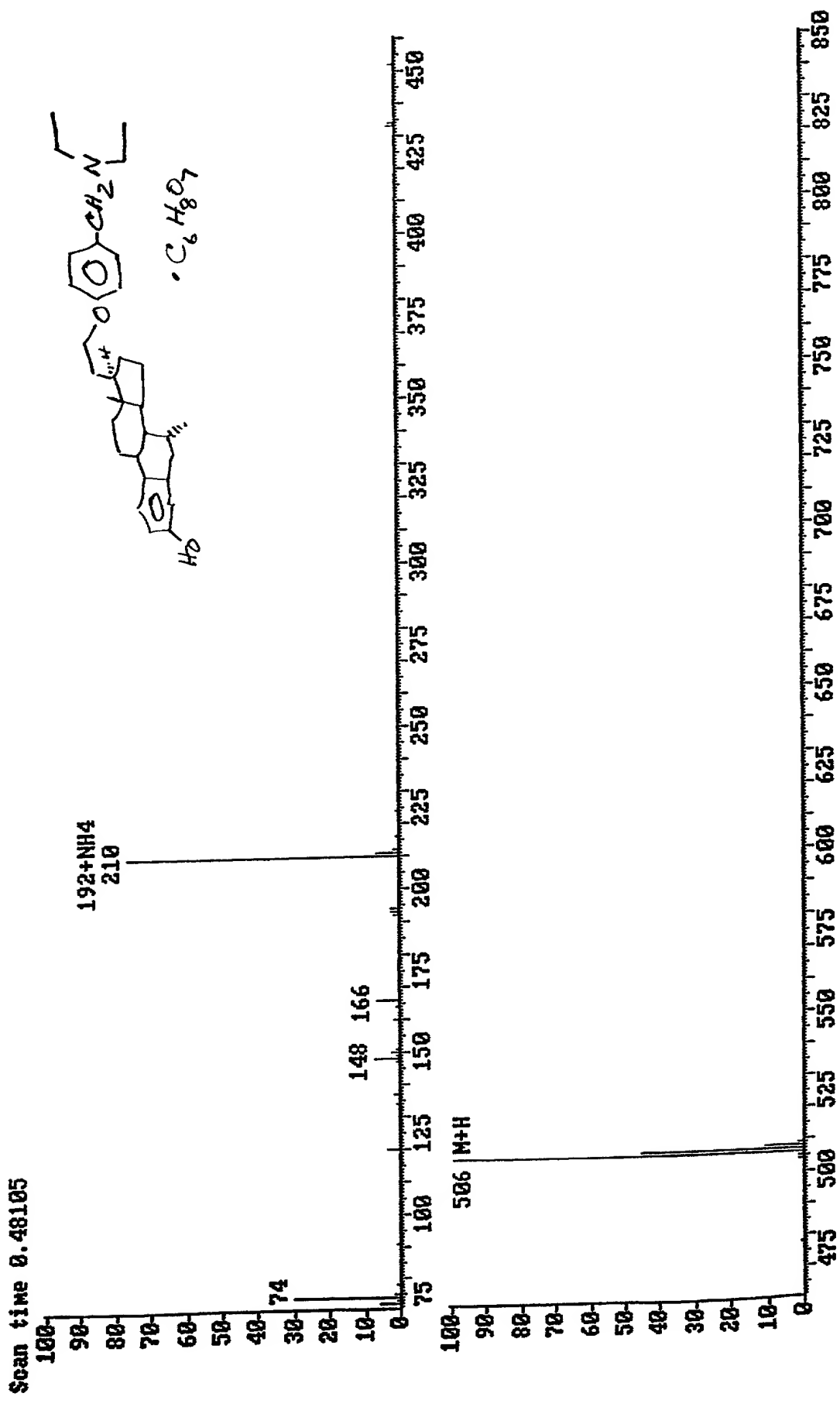
FIG. 16





**FIG. 17**

FIG. 18



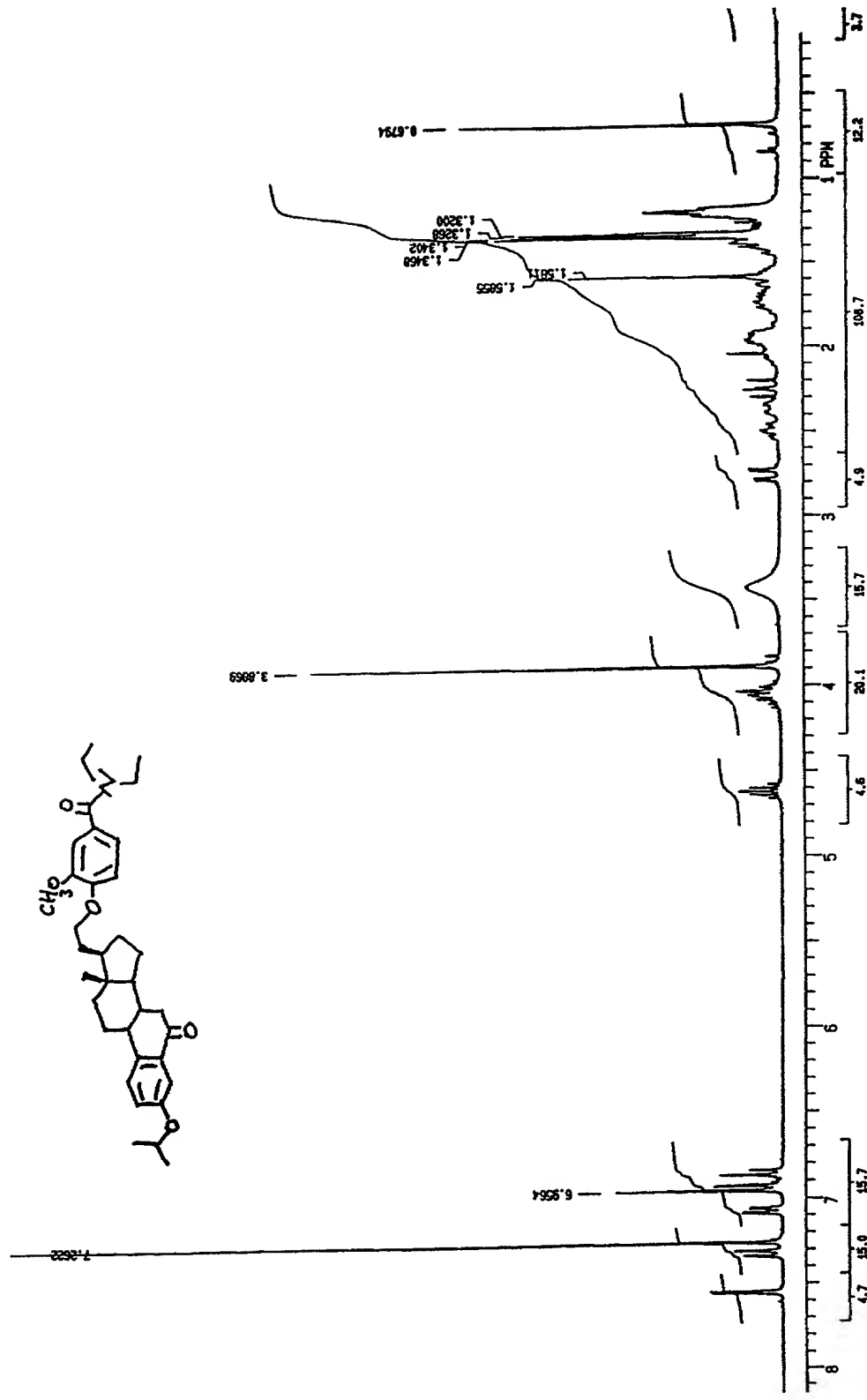
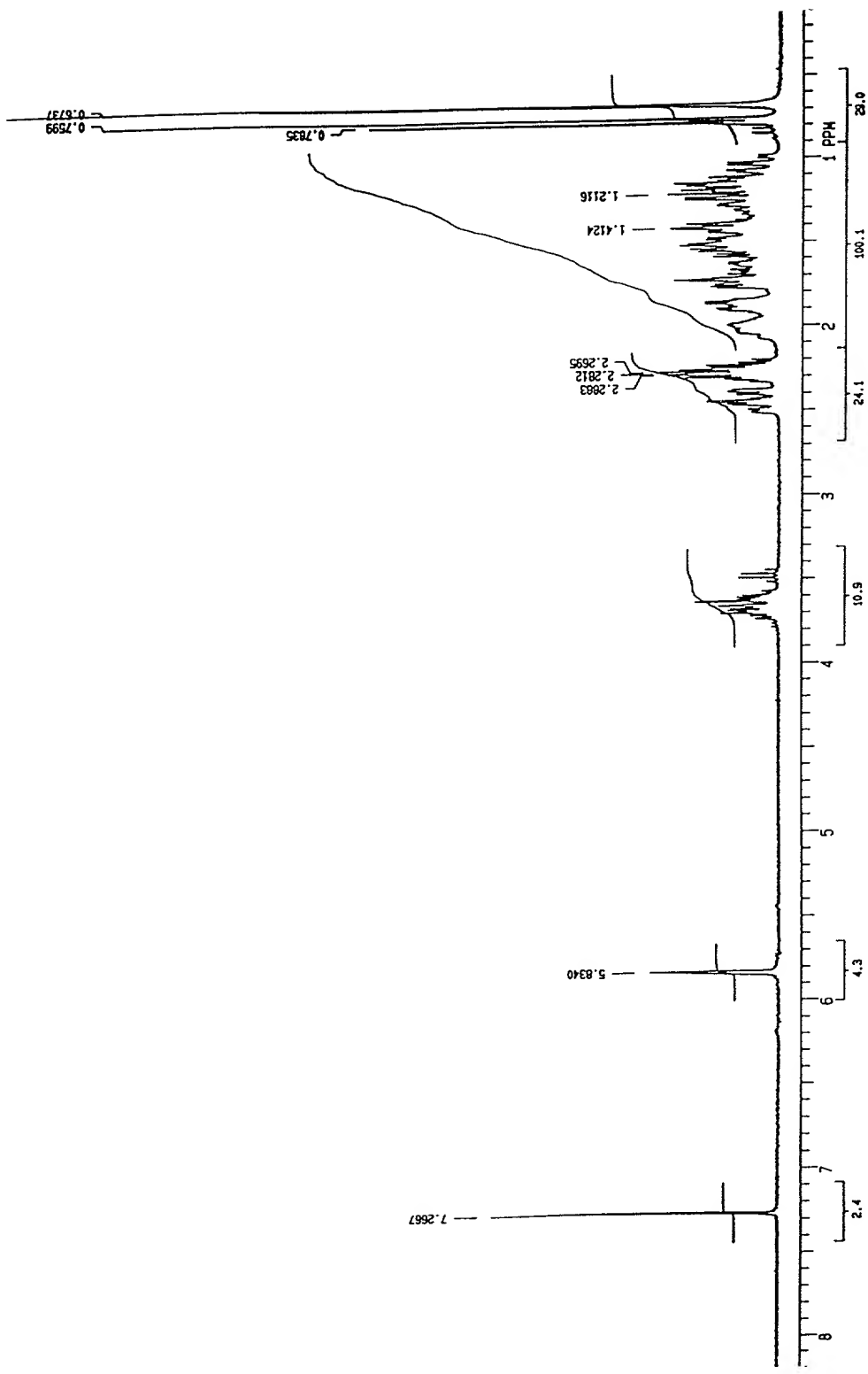
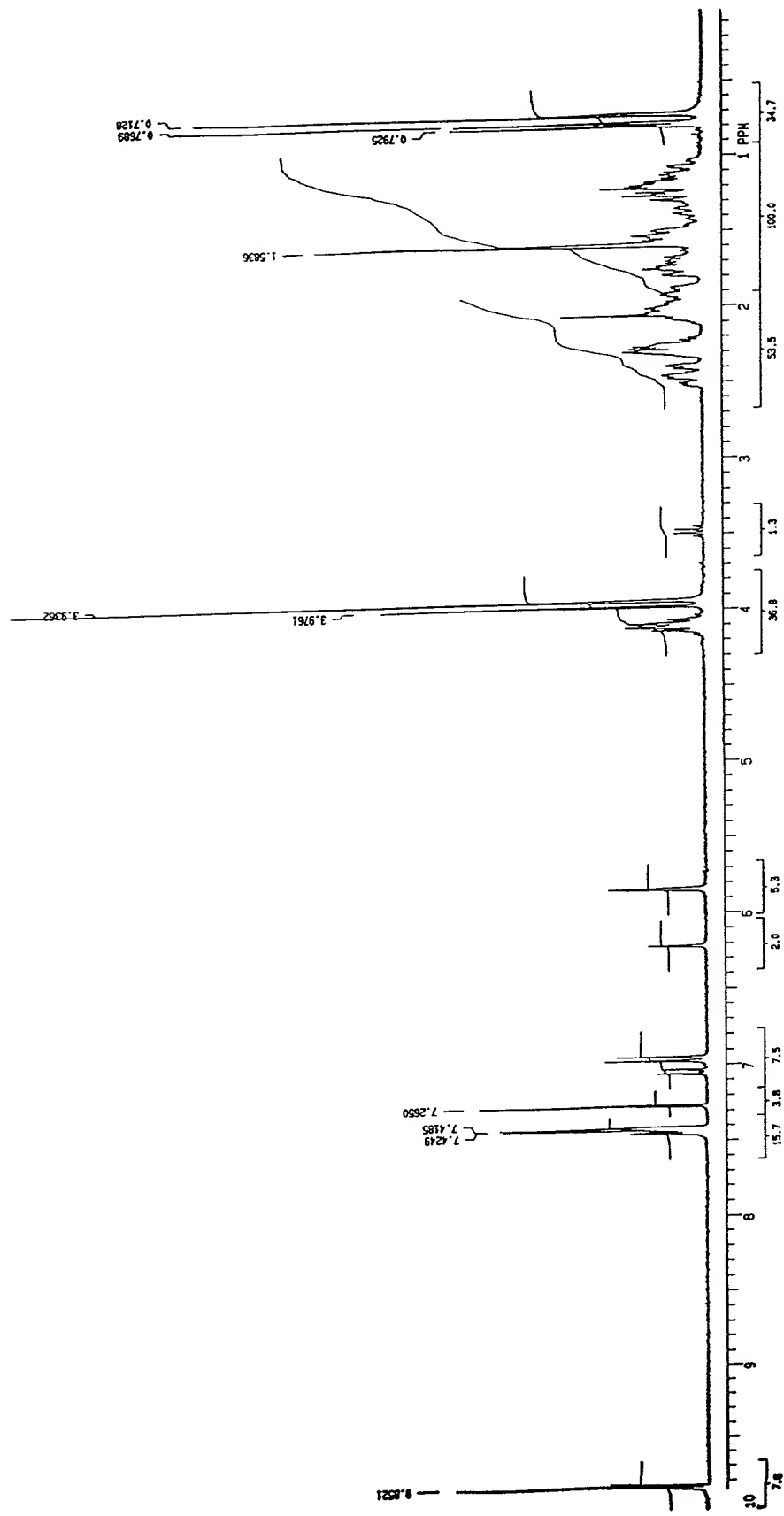


FIG. 19

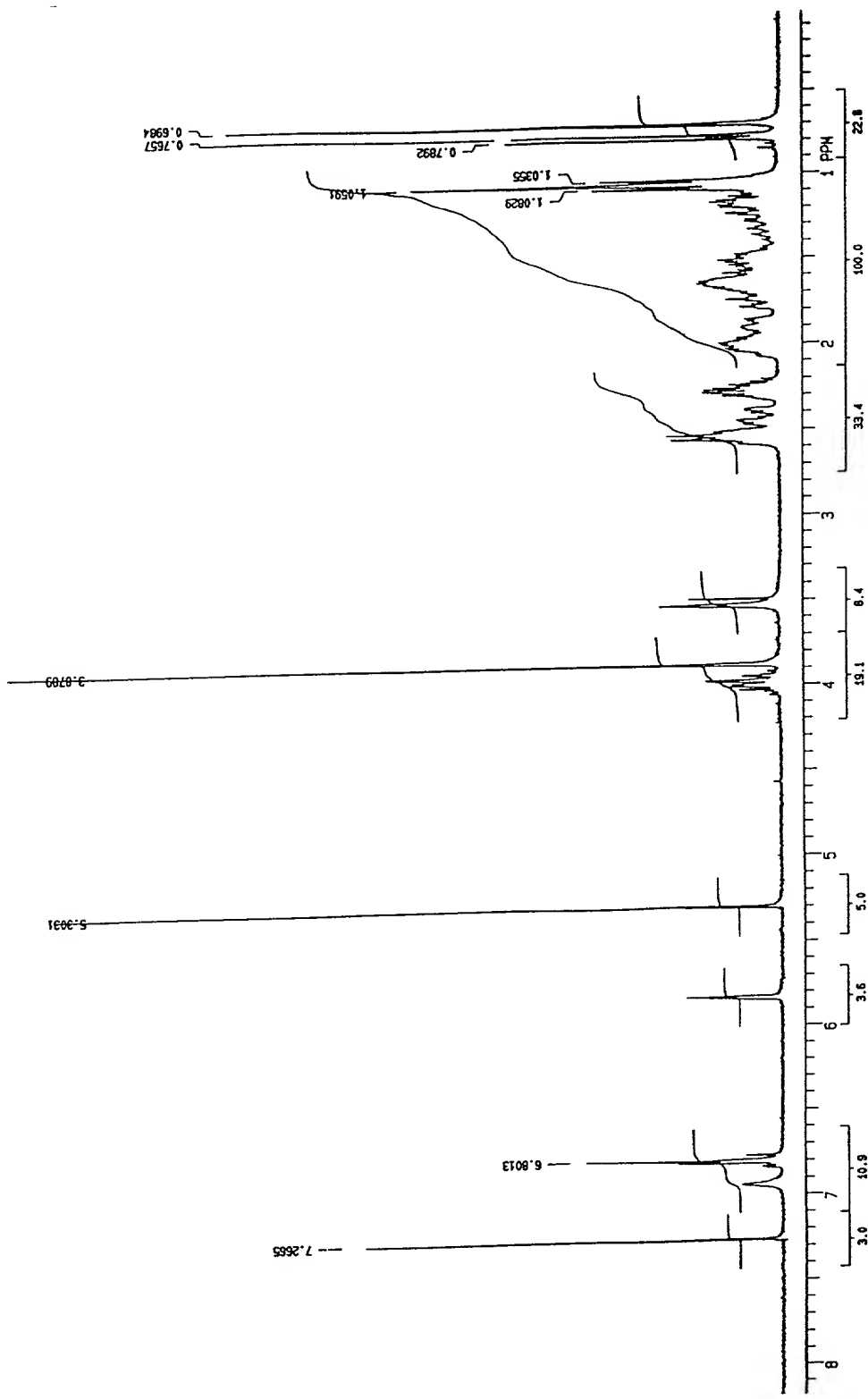


**FIG. 20**

**FIG. 21**



**FIG. 22**



Inhibitory Effect of SR 16312 on Androgen-independent Human  
Prostate Cancer Cells

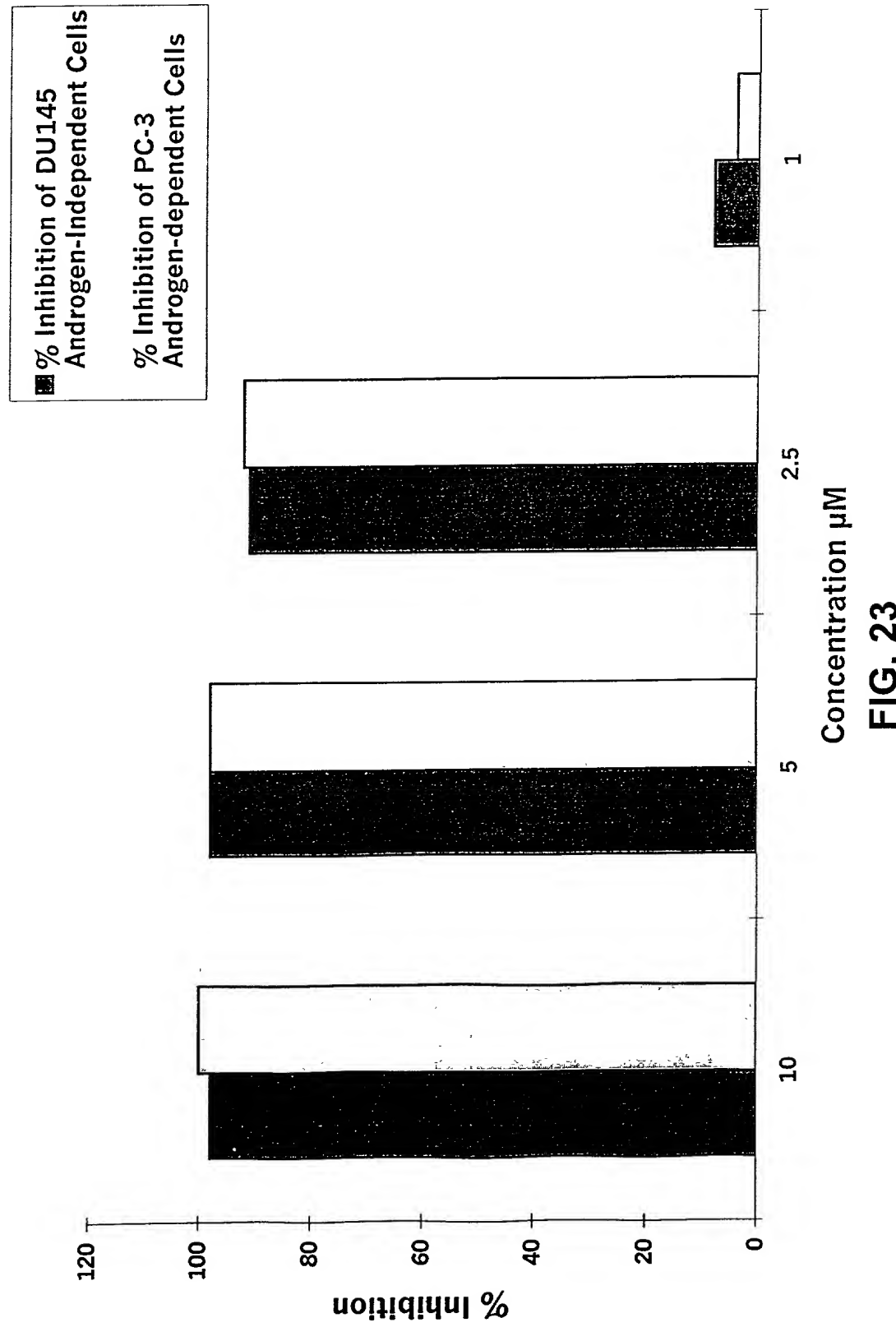


FIG. 23